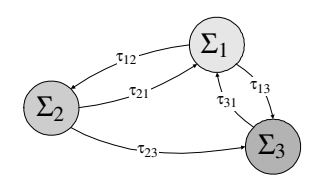


Stabilitätsanalyse von vernetzten Systemen mit Verzögerungen in der Datenübertragung

- Studienarbeit -

Angela Schöllig

26.07.2006





Modell des Netzwerks Verschiedene Analyse-Methoden Frequency-Sweeping-Test Zusammenfassung und Ausblick















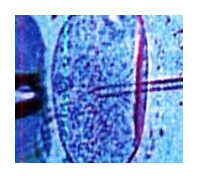
Modell des Netzwerks Verschiedene Analyse-Methoden Frequency-Sweeping-Test Zusammenfassung und Ausblick















Modell des Netzwerks Verschiedene Analyse-Methoden Frequency-Sweeping-Test Zusammenfassung und Ausblick







stabil?

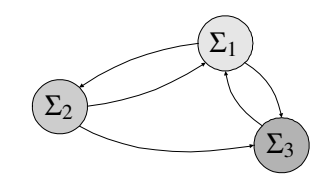






Menge von dynamischen Systemen:

$$\Sigma_i: \dot{x}_i(t) = f_i(x_i(t), u_i(t))$$
$$y_i = h_i(x_i)$$

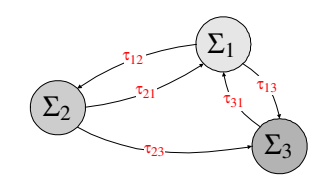


Verknüpfung:

$$u_i(t) = g_i(y_{j_1}(t), \dots, y_{j_{m_i}}(t))$$

Menge von dynamischen Systemen:

$$\Sigma_i: \dot{x}_i(t) = f_i(x_i(t), u_i(t))$$
$$y_i = h_i(x_i)$$

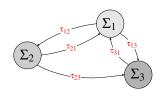


Verknüpfung:

$$u_i(t) = g_i(y_{j_1}(t-\tau_{i,j_1}), \ldots, y_{j_{m_i}}(t-\tau_{i,j_{m_i}}))$$

Menge von dynamischen Systemen:

$$\Sigma_i$$
: $\dot{x}_i(t) = f_i(x_i(t), u_i(t))$
 $y_i = h_i(x_i)$



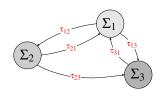
Verknüpfung:

$$u_i(t) = g_i(y_{j_1}(t-\tau_{i,j_1}), \ldots, y_{j_{m_i}}(t-\tau_{i,j_{m_i}}))$$

⇒ Totzeit-System

Menge von dynamischen Systemen:

$$\Sigma_i$$
: $\dot{x}_i(t) = f_i(x_i(t), u_i(t))$
 $y_i = h_i(x_i)$



Verknüpfung:

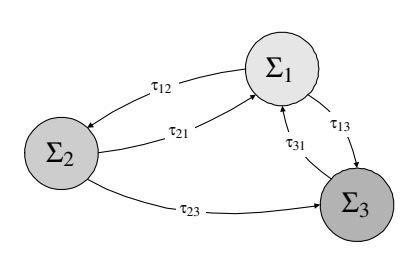
$$u_i(t) = g_i(y_{j_1}(t - \tau_{i,j_1}), \dots, y_{j_{m_i}}(t - \tau_{i,j_{m_i}}))$$

⇒ Totzeit-System

Ist das vernetzte System mit Zeitverzögerungen stabil?

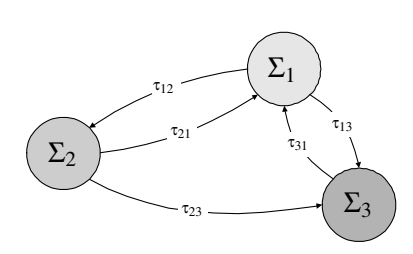
Inhaltsverzeichnis

- Modell des Netzwerks
- 2 Verschiedene Analyse-Methoden
- Frequency-Sweeping-Test
- Zusammenfassung und Ausblick



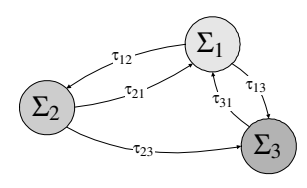
Übersicht

- Modell des Netzwerks
- Verschiedene Analyse-Methoden
- Frequency-Sweeping-Test
- Zusammenfassung und Ausblich



Zusammenfassung und Ausblick

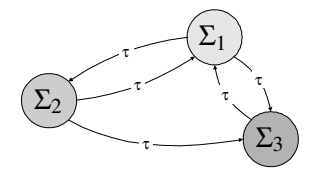
Vereinfachungen



Vereinfachungen

Zeitverzögerungen:

$$\tau_{i,j_k} = \tau = const.$$



Vereinfachungen

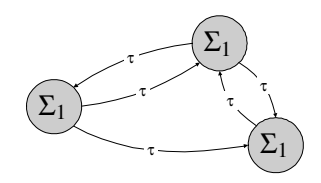
Zeitverzögerungen:

$$\tau_{i,j_k} = \tau = const.$$

Dynamik der Systeme:

$$\Sigma_1$$
: $\dot{x}_i(t) = ax_i(t) + bu_i(t)$

mit
$$a, b, x, u \in \mathbb{R}$$



Vereinfachungen

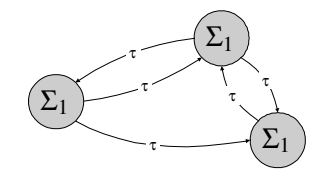
Zeitverzögerungen:

$$\tau_{i,j_k} = \tau = const.$$

Dynamik der Systeme:

$$\Sigma_1$$
: $\dot{x}_i(t) = ax_i(t) + bu_i(t)$

 $mit \ a, b, x, u \in \mathbb{R}$



Welchen Einfluss hat die Verknüpfungsstruktur auf die Stabilität?

Verknüpfungsstruktur





Verknüpfungsstruktur





$$C = \begin{pmatrix} 0 & 1 & 0 & 0 & 0 \\ 0 & 0 & 1 & 0 & 0 \\ 0 & 0 & 0 & 1 & 0 \\ 0 & 0 & 0 & 0 & 1 \\ 1 & 0 & 0 & 0 & 0 \end{pmatrix}$$

Abbildung der Verknüpfungsstruktur \rightarrow Verknüpfungsmatrix C

Verknüpfungsstruktur





$$C = \begin{pmatrix} 0 & 1 & 0 & 0 & 0 \\ 0 & 0 & 1 & 0 & 0 \\ 0 & 0 & 0 & 1 & 0 \\ 0 & 0 & 0 & 0 & 1 \\ 1 & 0 & 0 & 0 & 0 \end{pmatrix}$$

Abbildung der Verknüpfungsstruktur \rightarrow Verknüpfungsmatrix C

Gewichtsfaktoren:

$$c_{ij} \in \{-1, 1, 0\}$$

• Eingang:

$$u_i(t) = \sum_{j \neq i} c_{ij} x_j (t - \tau)$$

Modell des Netzwerks

Dynamik der Systeme:

$$\dot{x}_i(t) = ax_i(t) + bu_i(t)$$

Eingang:

$$u_i(t) = \sum_{j \neq i} c_{ij} x_j (t - \tau)$$

Gewichtsfaktoren:

$$c_{ij} \in \{-1,1,0\}$$

Modell des Netzwerks

Dynamik der Systeme:

$$\dot{x}_i(t) = ax_i(t) + bu_i(t)$$

Eingang:

$$u_i(t) = \sum_{j \neq i} c_{ij} x_j (t - \tau)$$

Gewichtsfaktoren:

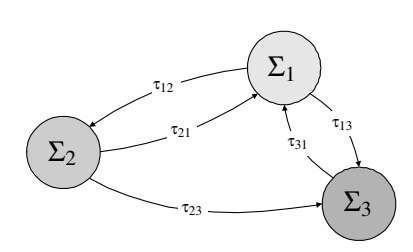
$$c_{ij} \in \{-1, 1, 0\}$$

Gesamt-System:
$$\dot{x}(t) = ax(t) + bCx(t-\tau)$$

mit Anfangsbedingung $x(t_0 + \theta) = \phi(\theta), -\tau \le \theta \le 0$ und $x \in \mathbb{R}^n, C \in \mathbb{R}^{n \times n}, a, b, \tau \in \mathbb{R}$

Übersicht

- Modell des Netzwerks
- 2 Verschiedene Analyse-Methoden
- Frequency-Sweeping-Test
- Zusammenfassung und Ausblick



Verschiedene Analyse-Methoden

Frequenzbereich

klassische Stabilitätstests

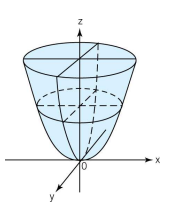
Frequency-Sweeping-Test

Test über konstante Matrizen

Small-Gain-Ansätze

Zeitbereich

Theorem von Ljapunow-Krasovskii Theorem von Razumikhin Matrix-Norm





Verschiedene Analyse-Methoden

Frequenzbereich

klassische Stabilitätstests

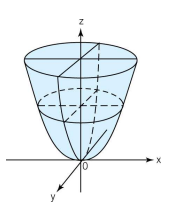
Frequency-Sweeping-Test

Test über konstante Matrizen

Small-Gain-Ansätze

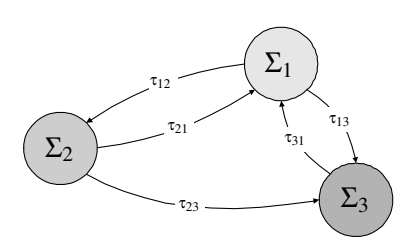
Zeitbereich

Theorem von Ljapunow-Krasovskii Theorem von Razumikhin Matrix-Norm



Übersicht

- Modell des Netzwerks
- Verschiedene Analyse-Methoden
- Frequency-Sweeping-Test
- Zusammenfassung und Ausblich



Stabilität im Frequenzbereich

Netzwerk-Modell:

$$M: \dot{x}(t) = ax(t) + bCx(t-\tau), \quad \tau = const.$$

• charakteristisches Quasipolynom:

$$p(s, e^{-\tau s}) = \det(sI - aI - bCe^{-\tau s}) = 0$$

Stabilität im Frequenzbereich

Netzwerk-Modell:

$$M: \dot{x}(t) = ax(t) + bCx(t-\tau), \quad \tau = const.$$

• charakteristisches Quasipolynom:

$$p(s, e^{-\tau s}) = \det(sI - aI - bCe^{-\tau s}) = 0$$

$$M$$
 ist asymptotisch stabil. \Leftrightarrow Re $(s^*) < 0$, $\forall s^* : p(s^*, e^{-\tau s^*}) = 0$



Modell des Netzwerks Verschiedene Analyse-Methoden Frequency-Sweeping-Test Zusammenfassung und Ausblick

Stabilität im Frequenzbereich Idee Ergebnisse für das Netzwerk Beispiel

Idee

Annahme: M stabil für $\tau = 0$

Stabilität im Frequenzbereich Idee Ergebnisse für das Netzwerk Beispiel

Idee

Annahme: M stabil für $\tau = 0$

Stabilitätsbereich: M stabil für $\tau \in [0, \overline{\tau})$

$$\overline{\tau} := \min \left\{ \tau \ge 0 \mid p(j\omega, e^{-j\omega\tau}) = 0, \ \omega > 0 \right\}$$

Idee

Annahme: M stabil für $\tau = 0$

Stabilitätsbereich: M stabil für $\tau \in [0, \overline{\tau})$

$$\overline{\mathbf{t}}:=\min\left\{\mathbf{t}\geq0\mid p(\mathbf{j}\mathbf{w},e^{-\mathbf{j}\mathbf{w}\mathbf{t}})=0\,,\;\mathbf{w}>0\right\}$$

totzeitunabhängig stabil: M ist stabil für alle $\tau > 0$.

totzeitabhängig stabil: M ist stabil für alle $\tau \in [0, \overline{\tau}), \ \overline{\tau} < \infty$.

Frequency-Sweeping-Test

$$\bar{\tau} := \min \left\{ \tau \ge 0 \mid p(j\omega, e^{-j\omega\tau}) = 0, \ \omega > 0 \right\}$$

gesucht:
$$(\omega^*, \tau^*): p(j\omega^*, e^{-j\omega^*\tau^*}) = 0$$

Frequency-Sweeping-Test

$$\overline{\tau} := \min \left\{ \tau \ge 0 \mid p(j\omega, e^{-j\omega\tau}) = 0, \ \omega > 0 \right\}$$

gesucht:
$$(\omega^*, \tau^*)$$
: $p(j\omega^*, e^{-j\omega^*\tau^*}) = 0$

Berechnung:

1 Bestimmung von ω^* :

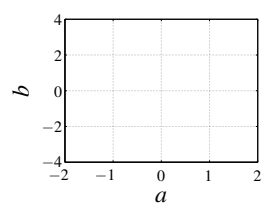
$$\left|\lambda_i \left[\left(j\omega^* I - aI \right)^{-1} bC \right] \right| = 1, \quad \omega^* > 0$$

2 Bestimmung von τ^* :

$$\lambda_i \left[(j\omega^* I - aI)^{-1} b C \right] = e^{j\omega^* \tau^*}, \quad \tau^* > 0$$

Das Netzwerk

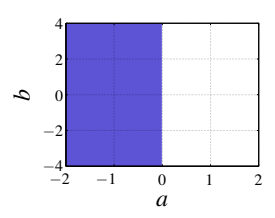
$$M: \dot{x}(t) = ax(t) + bCx(t - \tau)$$



Das Netzwerk

$$M: \dot{x}(t) = ax(t) + bCx(t - \tau)$$

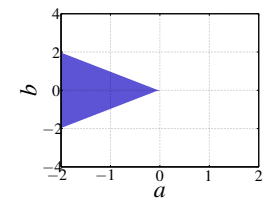
(*i*)
$$a < 0$$
,



Das Netzwerk

$$M: \dot{x}(t) = ax(t) + bCx(t - \tau)$$

- (*i*) a < 0,
- (ii) $b^2 \rho^2(C) < a^2$ und



$$\rho(C) = \max_{i} |\lambda_i(C)| = 1$$

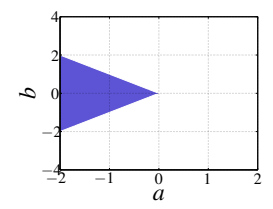
Das Netzwerk

$$M: \dot{x}(t) = ax(t) + bCx(t - \tau)$$

(*i*)
$$a < 0$$
,

(ii)
$$b^2 \rho^2(C) \leq a^2$$
 und

(iii)
$$a+b\operatorname{Re}[\lambda_i(C)]<0$$
.



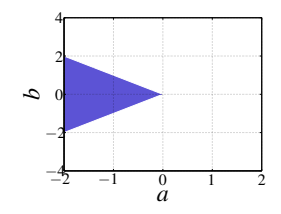
$$\rho(C) = \max_{i} |\lambda_i(C)| = 1$$

Das Netzwerk

$$M: \dot{x}(t) = ax(t) + bCx(t - \tau)$$

mit $\tau = const.$ ist genau dann totzeitunabhängig stabil, wenn

- (*i*) a < 0,
- (ii) $b^2 \rho^2(C) \leq a^2$ und
- (iii) $a+b\operatorname{Re}[\lambda_i(C)]<0$.



$$\rho(C) = \max_{i} |\lambda_i(C)| = 1$$

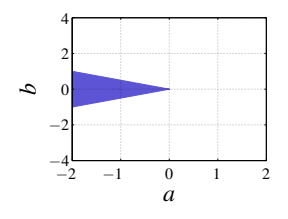
 \Rightarrow Stabilitätsbereich nur vom Spektralradius ho(C) abhängig

Das Netzwerk

$$M: \dot{x}(t) = ax(t) + bCx(t - \tau)$$

mit $\tau = const.$ ist genau dann totzeitunabhängig stabil, wenn

- (*i*) a < 0,
- (ii) $b^2 \rho^2(C) \leq a^2$ und
- (iii) $a+b\operatorname{Re}[\lambda_i(C)]<0$.



 $\rho(C) = \max |\lambda_i(C)| = 2$

 \Rightarrow Stabilitätsbereich nur vom Spektralradius $\rho(C)$ abhängig

totzeitabhängige Stabilität:

$$\overline{\tau} = \min_{k} \left\{ \frac{1}{\omega_{k}} \arccos\left(\frac{\omega_{k} \operatorname{Im}\left(\lambda_{k}\left(C\right)\right) - a \operatorname{Re}\left(\lambda_{k}\left(C\right)\right)}{b \left|\lambda_{k}\left(C\right)\right|^{2}}\right) \right\}$$

mit

$$\omega_k = \sqrt{b^2 |\lambda_k(C)|^2 - a^2}, \quad b^2 |\lambda_k(C)|^2 - a^2 > 0, \ k \in \{1, \dots, n\}$$

totzeitabhängige Stabilität:

$$\overline{\tau} = \min_{k} \left\{ \frac{1}{\omega_{k}} \arccos\left(\frac{\omega_{k} \ln\left(\lambda_{k}\left(C\right)\right) - a \operatorname{Re}\left(\lambda_{k}\left(C\right)\right)}{b \left|\lambda_{k}\left(C\right)\right|^{2}}\right) \right\}$$

mit

$$\omega_k = \sqrt{b^2 |\lambda_k(C)|^2 - a^2}, \quad b^2 |\lambda_k(C)|^2 - a^2 > 0, \ k \in \{1, \dots, n\}$$

- Stabilitätsverhalten nur von den *Eigenwerten* der Verknüpfungsmatrix $\lambda_i(C)$ abhängig.
- Parameterabhängige Stabilitätsaussagen für beliebiges n-Knoten-Netzwerk möglich.

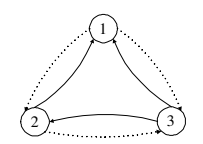
Netz-Struktur

symmetrisch:



$$C = \begin{pmatrix} 0 & 1 & 1 \\ 1 & 0 & 1 \\ 1 & 1 & 0 \end{pmatrix}$$

schiefsymmetrisch:

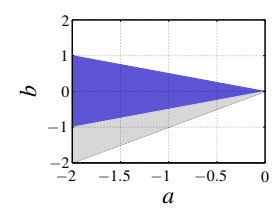


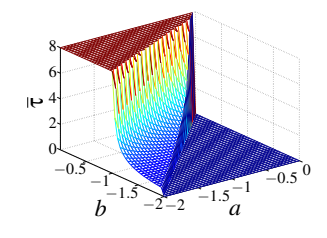
$$C = \begin{pmatrix} 0 & 1 & 1 \\ -1 & 0 & 1 \\ -1 & -1 & 0 \end{pmatrix}$$

Stabilität im Frequenzbereich Idee Ergebnisse für das Netzwerk Beispiel

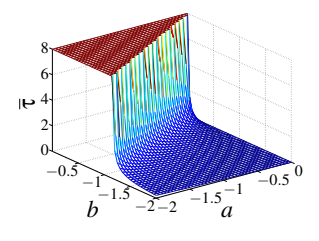
Netz-Struktur

$$C = \begin{pmatrix} 0 & 1 & 1 \\ 1 & 0 & 1 \\ 1 & 1 & 0 \end{pmatrix}$$



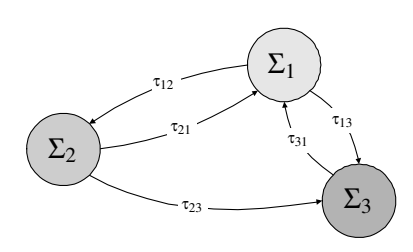


$$C = \begin{pmatrix} 0 & 1 & 1 \\ -1 & 0 & 1 \\ -1 & -1 & 0 \end{pmatrix} \Rightarrow \begin{bmatrix} 1 & 1 & 1 \\ 0 & 1 & 1 \\ 0 & 1 & 1 \\ 0 & 1 & 1 \end{bmatrix}$$



Übersicht

- Modell des Netzwerks
- Verschiedene Analyse-Methoden
- Frequency-Sweeping-Test
- Zusammenfassung und Ausblick



Zusammenfassung und Ausblick

Zusammenfassung:

- vernetzte dynamische Systeme mit Verzögerungen in der Datenübertragung
- Fokus auf Netzwerk-Topologie
- notwendige und hinreichende Stabilitätsbedingungen für beliebiges n-Knoten-Netzwerk
 - ightarrow nur von den Eigenwerten $\lambda_i(C)$ abhängig



Zusammenfassung und Ausblick

Zusammenfassung:

- vernetzte dynamische Systeme mit Verzögerungen in der Datenübertragung
- Fokus auf Netzwerk-Topologie
- notwendige und hinreichende Stabilitätsbedingungen für beliebiges n-Knoten-Netzwerk
 - \rightarrow nur von den Eigenwerten $\lambda_i(C)$ abhängig

Ausblick:

Verallgemeinerung des Modells





Stabilitätsanalyse von vernetzten Systemen mit Verzögerungen in der Datenübertragung

- Studienarbeit -

Angela Schöllig



Spezialfälle

$$\begin{split} \overline{\mathbf{t}} &= \min_{k} \left\{ \frac{1}{\omega_{k}} \arccos\left(\frac{\omega_{k} \ln\left(\lambda_{k}\left(C\right)\right) - a \operatorname{Re}\left(\lambda_{k}\left(C\right)\right)}{b \left|\lambda_{k}\left(C\right)\right|^{2}}\right) \right\} \\ \omega_{k} &= \sqrt{b^{2} \left|\lambda_{k}\left(C\right)\right|^{2} - a^{2}} \,, \quad b^{2} \left|\lambda_{k}\left(C\right)\right|^{2} - a^{2} > 0 \,, \ k \in \{1, \dots, n\} \end{split}$$

symmetrische Verknüpfungsstruktur $C = C^T$:

- reelle Eigenwerte
- $\bar{\tau} = \frac{1}{\sqrt{b^2 \lambda_{max}^2 a^2}} \arccos\left(\frac{-a}{b \lambda_{max}}\right)$

schiefsymmetrische Verknüpfungsstruktur $C = -C^T$:

- rein imaginäre, konjungiert komplexe Eigenwerte
- $\bullet \ \overline{\tau} = \frac{1}{2\sqrt{b^2 \rho^2 a^2}} \arccos\left(1 \frac{2a^2}{b^2 \rho^2}\right)$